

Deneysel olarak oluşturulmuş akut pankreatitte kolonik değişiklikler

Colonic changes in experimental acute pancreatitis

Dr. Eray KARA¹, Dr. Hasan AYDEDE¹, Dr. Hakan ÇEVİKEL¹, Dr. Murat ALKANAT²,
Dr. Yıldırıay YÜZER³, Dr. Mustafa Ali KORKUT³

Ege Üniversitesi Tıp Fakültesi Genel Cerrahi Anabilim Dalı¹, Patoloji Anabilim Dalı² ve Proktoloji Bilim Dalı³, İzmir

ÖZET: Bu deneysel çalışma Ege Üniversitesi Tıp Fakültesi Genel Cerrahi Kliniği'nın Deneysel Cerrahi Ünitesinde gerçekleştirildi. Yirmibir albino sıçan, kontrol A grubu ($n=7$), pankreatit oluşturulan B1 ($n=7$) ve B2 ($n=7$) deney grupları olmak üzere üç gruba ayrıldı. $20 \mu\text{g}/\text{kg}$ cerulein, hafiften ciddiye kadar pankreatit oluşturmak amacıyla farklı protokollerde subkutan olarak uygulandı. A grubuna $2 \text{ cc } 0.9\%$ NaCl subkutan olarak enjekte edildi ve hayvanlar 24 saat sonra eter anestezisi ile sakrifiye edildiler. Cerulein, $20 \mu\text{g}/\text{kg}$, SC olarak B1 grubuna tek defada, B2 grubuna yedi gün arayla dört kez uygulandı.

Deneklerden, 15 gün sonra eter anestezisi ile sakrifiye edilmeden hemen önce, kardiyak ponksiyon ile amilaz tayini için kan örnekleri alındı ve steril tüplerde muhafaza edildi. Deneklerin pankreas, kolon ve mezokolonları total olarak çıkarıldı ve histopatolojik olarak incelendi. Sonuçlar Mann-Whitney Rank Sum testi ile analiz edildi ve $p < 0.05$ değerleri istatistiksel olarak anlamlı kabul edildi. Sonuç olarak sıçanda oluşturulan akut pankreatit modelinde kolonun sıklıkla etkilenen segmentinin transvers kolon olduğu ve bunun derecesinin pankreatitin şiddeti ile arttığı kanısına varıldı.

Anahtar sözcükler: Akut pankreatit, kolon

SUMMARY: This study was undertaken at the Experimental Surgery Unit of the Aegean University Medical School Hospital. Twenty one Albino rats were divided into three equal groups: Group A as a control, Group B, induced acut pancreatitis and Group B2 induced mild to severe pancreatitis by sc injection of $20 \mu\text{g}/\text{kg}$ of cerulein according to various protocols. Two cc of 0.9% NaCl was given by SC injection to group A and they were sacrificed by ether anesthesia 24 hours later. $20 \mu\text{g}/\text{kg}$ of cerulein was given by SC infectin to group Bl and in four divided doses over a seven day period to group B2 and they were sacrificed by ether anesthesia after 15 days. Two ml blood samples were taken for amilase levels by cardiac puncture prior to killing the rats. Their pancreas, colon and mesocolon were totally excised and examined histopathologically. All results were analyzed by Mann-Whitney Rank Sum test and a p value <0.05 was assigned as significant.

Our results showed that the transverse colon was the segment of the colon most affected by acute pancreatitis in rats and that this effect was modified by the severity of pancreatitis.

Key words: Acute pancreatitis, colon

Akut pankreatitli olgularda kolonun etkilenmesi nadir rastlanan ancak oluştuguonda hayatı tehdit eden bir komplikasyondur. Bu komplikasyonun etiyopatogenezinden sorumlu iki farklı mekanizma öne sürülmektedir. Bunlardan ilki; oluşan pankreatik inflamatuvar kitlenin, mezokolon yolu ile doğrudan yayılımı, diğeri ise pankreatit etkisiyle mezenterik ve submukoza damarlardaki trombusler sonucu oluşan vasküler kolonik iskemidir (1, 2).

Bu çalışmada sıçanlarda yapılan deneysel akut pankreatit modellerine bağlı olarak farklı kolon segmentlerindeki histopatolojik değişiklikler incelenmiş ve bu bulguların akut pankreatitin şiddeti ile olan ilişkisi araştırılmıştır.

MATERIAL VE METOD

Bu deneysel çalışma, Ege Üniversitesi Tıp Fakültesi Deneysel Cerrahi laboratuvarında cerulein verilerek akut pankreatit oluşturulan 17 adet albino sıçan üzerinde gerçekleştirildi. Tümü dişi olan deneklerin ortalama ağırlıkları 140 ± 30 gr ve yaşıları ortalama 13 aydı.

Çalışmamızda farklı şiddette akut pankreatit yaratmak amacıyla $20 \mu\text{g}/\text{kg}$ total cerulein dozu, farklı protokollerle deneklere enjekte edildi. Metinde bu uygulamadan "bir kür" olarak bahsedildi.

Denekler kontrol A grubu ($n=7$), hafif ve şiddetli pankreatit oluşturulan B1 ($n=7$) ve B2 ($n=7$) grupları olmak üzere üç farklı gruba ayrıldı. A grubuna, makalede anlaşılmak kolaylığı nedeniyle "bir kür" olarak tanımlayacağımız şekilde ve birer saat ara ile dört kez serum fizyolojik subkutan olarak uygulandı. Bu sıçanlar 24 saat sonra eter

Tablo 1. Kolondaki yangısal reaksiyonun derecelendirilmesi.

<i>yangısal reaksiyon</i>	<i>kolon Bölgesi</i>	<i>grup A (n=7)</i>	<i>grup B₁(n=7)</i>	<i>grup B₂ (n=7)</i>	<i>p<</i>
yok	çekum	3	3	3	-
	transvers	3	4	0	0.05
	sigmoid	2	3	4	-
var	çekum	0	4	3	-
	transvers	0	3	3	0.05
	sigmoid	1	4	2	-
var	çekum	0	0	1	-
	transvers	0	0	4	0.05
	sigmoid	0	0	1	-

Grup A : Kontrol grubu

Grup B₁: 1 kür cerulein verilip 15 gün sonra sakrifiye edilen deneklerGrup B₂: 1 hafta ara ile 4 kür cerulein verilip sonra 15 gün sakrifiye edilen denekler

anestezisi altında sakrifiye edildi. B1 grubuna (n=7) bir kür cerulein uygulandı ve denekler 15 gün sonra eter anestezisi altında sakrifiye edildi. B2 grubuna (n=7) birer hafta ara ile dört kür cerulein uygulandı ve 15 gün sonra denekler eter anestezisi altında sakrifiye edildi.

Denekler sakrifiye edilmeden hemen önce, kardiyak ponksiyon ile alınan kan örneklerinden Ekspress 550 CIBA CORNING cihazı ile amilaz değerlerine bakıldı (3).

Deneklerin pankreasları, kolon ve mezokolonları blok halinde çıkarıldı. Pankreatit ve kolon tutulşunun değerlendirilmesi için doku örnekleri hazırlandı. Doku örnekleri % 70'lik etanol içinde tespit edilerek korundu ve rutin parafin blokları

hazırlanarak 6-7 mikronluk kesitler hazırlandı. Preparatlar aşağıda detaylı olarak açıklanacak histopatolojik indeks için hematoxylene-eosin ile boyandılar. Histopatolojik inceleme sonuçları değerlendirilirken kolon mukozası, visseral periton yüzeyi, mezokolon yağ dokusu ve vasküler yapıların çevresindeki polimorf nüveli lökosit birikimi ve vazodilatasyon araştırıldı (4).

Bu değişiklikler, 0= değişiklik yok, 1= ılımlı reaksiyon, 2= şiddetli reaksiyon şeklinde skorlandı. Elde edilen değerler, "Mann-Whitney Rank Sum Test" ile değerlendirildi ve p<0.05 değerleri istatistiksel olarak anlamlı kabul edildi.

Pankreatitin değerlendirilmesinde ise histopatolojik olarak pankreasta ödem, intrapankreatik ve

Tablo 2. Pankreatik ödem, intrapankreatik ve peripankreatik hücre infiltrasyonunun derecelendirilmesi**Pankreatik ödem**

<i>Skor</i>	<i>Grup A</i>	<i>Grup B₁</i>	<i>Grup B₂</i>	<i>P<</i>
	<i>n=7</i>	<i>n=7</i>	<i>n=7</i>	
0	% 66	% 33.3	-	0.05
1	% 33	% 50	% 33.3	-
2	-	% 16.6	% 66.6	0.05

Intrapankreatik hücre infiltrasyonu

<i>Skor</i>	<i>Grup A</i>	<i>Grup B₁</i>	<i>Grup B₂</i>	<i>P<</i>
	<i>n=7</i>	<i>n=7</i>	<i>n=7</i>	
0	% 33.3	% 33.3	-	-
1	% 66.6	% 50	% 83.3	-
2	-	% 16.6	% 16.6	-

Peripankreatik hücre infiltrasyonu

<i>Skor</i>	<i>Grup A</i>	<i>Grup B₁</i>	<i>Grup B₂</i>	<i>P<</i>
	<i>n=7</i>	<i>n=7</i>	<i>n=7</i>	
1	% 66.6	% 50	-	0.05
2	% 33.3	% 50	% 33.3	-
3	-	-	% 66.6	0.05

Tablo 3. Deneklerin (Ü/L) olarak kan amilaz değerleri

<i>Denek Sayısı</i>	<i>Grup A (n=7)</i>	<i>Grup B (n=7)</i>	<i>Grup B2 (n=7)</i>
1	531	726	2603
2	659	667	2493
3	850	824	2723
4	560	728	2317
5	580	556	2630
6	576	521	2578
7	612	964	2415
Ortalama	624±92.68	712±57.59	2537±52.21

peripankreatik hücre infiltrasyonu araştırıldı. Pankreatik ödem derecelendirilmesi, 0=Ödem yok, 1=hafif, 2=orta, 3=ileri şeklinde yapıldı ve denekler buna göre değerlendirildi.

Intrapankreatik hücre infiltrasyonu için perikanaliküler ve asiner alanlar birlikte değerlendirildi. Ayrıca polimorfonükleer ve mononükleer hücre infiltrasyonu da değerlendirilmeye dahil edildi. Buna göre değerlendirme;

(0) Pankreatik hücre infiltrasyonu yok

(1) Pankreatik hücre infiltrasyonu ayrı hücrelerden oluşuyor

(2) Pankrejatik hücre infiltrasyonlarında gruplaşmalar var

Peripankreatik hücre infiltrasyonu için;

1. Normal hayvanlarda peripankreatik yağ dokusunda mononükleer hücre topluluklarına rastlandı.

2. Bu hücre toplulukları birim alanda normalin 1, 5-2 katı

3. Peripankreatik yağ dokusunda arada polimorf nüveli lökositler dahil yangışal infiltrasyon var.

şeklinde bir skorlama uygulandı.

Elde edilen sonuçlar "Mann-Whitney Rank Sum Test" ile istatistiksel olarak değerlendirildi ve $p<0.05$ istatistiksel olarak anlamlı kabul edildi.

SONUÇ

Tablo 1 ve 2'de deneklerin kolonik değişiklikler, pankreatik ödem ve hücre infiltrasyonu yönünden değerlendirilmesi görülmektedir.

Sonuçlar istatistiksel olarak değerlendirildiğinde, pankreatik ödem açısından grup A ile B2 arasında $p<0.05$ ve B1 ile B2 arasında $p<0.05$ değerleri ortaya çıktı ve anlamlı bulundu. Peripankreatik hücre infiltrasyonu açısından kıyaslama yapıldığında, A ile B2 arasında $p<0.05$, B1 ile B2 arasında $p<0.05$ değerleri elde edildi ve bu da anlamlı bulundu. Intrapankreatik hücre infiltrasyonu açısından ise gruplar arasında anlamlı bir farklılık saptanmadı.

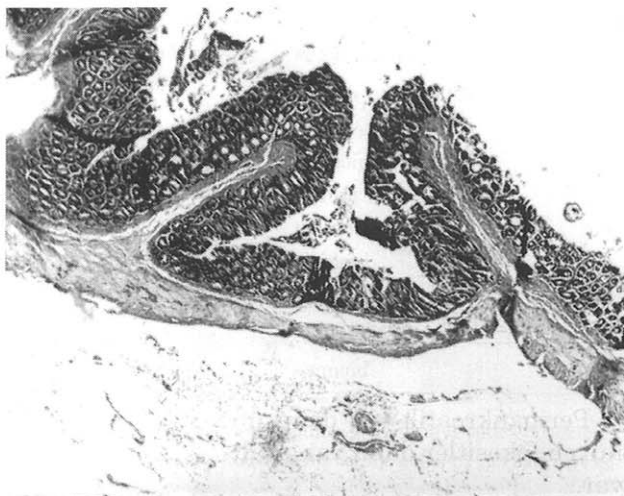
Tablo 3'te deneklerden alınan kan örneklerindeki amilaz değerleri görülmektedir. Bu tablodaki değerler istatistiksel olarak karşılaştırıldığında grup A ile grup B2 arasında $p<0.01$; B1 ile B2 arasında $p<0.001$ değerleri saptandı ve istatistiksel olarak anlamlı bulunmadı.

Bu verilerle B2 grubu, B1 ve A grubu ile karşılaştırıldığında birer hafta ara ile dört kez cerulein uygulanan B2 grubundan elde edilen histopatolojik ve biokimyasal parametrelerin tümü hem kontrol grubu hem de bir kür ceruleinden sonra 15 gün beklenen B1 grubundaki hayvanlara göre pankreatit varlığı ve şiddeti açısından anlamlı derecede farklı bulundu.

Bu çalışmada, deneysel olarak akut pankreatit oluşturulan sıçanlarda kolonun tüm segmentleri ve mezokolon değerlendirildi. Yapılan histopatolojik inceleme sonucunda visseral periton, mezokolon ve damarları çevresinde polimorf nüveli lökosit birikimi ve vazodilatasyon yanıtı

Tablo 4. Kolon tutulumunun histopatolojik indeksi

	<i>grup</i>	<i>çekum</i>	<i>transvers kolon</i>	<i>sigmoid kolon</i>
A1	1	0	0	0
	2	0	0	0
	3	0	0	1
	4	0	0	0
	5	0	0	0
	6	0	0	0
	7	0	0	0
B1	1	0	0	0
	2	0	1	0
	3	1	1	1
	4	1	0	1
	5	1	0	1
	6	0	1	0
	7	1	0	1
B2	1	1	1	0
	2	2	2	1
	3	0	1	2
	4	0	2	0
	5	1	1	0
	6	1	1	0
	7	0	2	1



Resim 1. Normal kolon duvarı ve hücre dağılımı (HE, 20x10)



Resim 2. Peritonitte kolon duvarı ve hücre infiltrasyonu (HE, 20x10)

saptandı (Resim 1, 2). Tablo 4'te deneklerdeki kolon tutuluşunun özel olarak tasarlanmış histopatolojik indekse göre skorlanması görülmektedir. Tablo 5'te kolonun değişik segmentlerindeki yangışal reaksiyonun skorlanması görülmektedir. Deneysel olarak akut pankreatit geliştirilmiş sıçanlardan alınan çekum, transvers kolon ve sigmoid kolon örneklerinin oluşan yangışal reaksiyonun lokalizasyonu açısından değerlendirildiğinde sadece transvers kolondaki tutulumun istatistiksel olarak anlamlı olduğu saptandı. Çekum ve sigmoid kolon tutuluşu için yapılan karşılaştırmada ise gruplar arasında istatistiksel açıdan anlamlı bir farklılık bulunmadı

(Tablo 4, 5).

Transvers kolon tutuluşu yönünden değerlendirilme yapıldığında Grup A'daki hayvanların hiçbirinde yangışal reaksiyon saptanmadı. Buna karşın Grup B1'de deneklerin % 57.1'inde yangışal reaksiyon gözlenmezken sadece dört denekte birinci dereceden ılımlı yangışal reaksiyon saptandı. Grup B2'de ise, deneklerin % 42.9'da birinci dereceden ılımlı yangışal reaksiyon saptanırken, % 57.1 oranında ikinci dereceden şiddetli yangışal reaksiyon saptandı.

Gruplar istatistiksel olarak karşılaştırıldığında grup A ile B2 arasında $p<0.05$; A ile B1 arasında $p<0.05$ ve B1 ile B2 arasında ise $p<0.05$ değerleri

Tablo 5. Kolondaki yangışal reaksiyonun derecesi.

Çekumda yangışal reaksiyon

<i>Skor</i>	<i>grup A</i>	<i>grup B₁</i>	<i>grup B₂</i>	<i>P<</i>
0	% 100	% 42.9	% 42.9	-
1	-	% 57.1	% 42.9	-
2	-	-	% 14.3	-

Transvers kolonda yangışal reaksiyon

<i>Skor</i>	<i>grup A</i>	<i>grup B₁</i>	<i>grup B₂</i>	<i>P<</i>
0	% 100	% 57.1	-	0.05
1	-	% 42.9	% 42.9	0.05
2	-	-	% 57.1	0.05

Sigmoid kolonda yangışal reaksiyon

<i>Skor</i>	<i>grup A</i>	<i>grup B₁</i>	<i>grup B₂</i>	<i>P<</i>
0	% 66.7	% 42.9	% 57.1	-
1	% 33.3	% 57.1	% 28.6	-
2	-	-	% 14.3	-

saptandı ve istatistiksel olarak anlamlı bulundu.

TARTIŞMA

Akut pankreatit, komplikasyonları ve yarattığı sistemik etkiler nedeniyle organizma için son derece tehlikeli sonuçlar doğurabilen ciddi bir hastalıktır. Akut pankreatitte, pankreas'a komşuluğu nedeniyle etkilenen en sık organlardan biri kolondur.

Supramaksimal sekretuar dozda ceruleinin sıçanlıarda IV perfüzyon ya da aralıklı subkütan yolla verilmesi ile saatler içinde tipik ödematoz pankreatit gelişirilebildiği çeşitli çalışmalarda gösterilmiştir (1, 2). Cerulein, pankreas dokusunda spesifik kolesistokinin (CCK) reseptörlerini uyararak akut pankreatit gelişmesine yol açmaktadır. Ceruleinin bu etkisi kolesistokinin antagonistleri ile önlenemektedir (5).

Kolon tutuluşunun akut pankreatitli olgularda nadir olduğu bilinmektedir. Ancak gerçek insidansı da tartışılmıştır. Lukash 1967'de akut pankreatit geçirmiş 100 olguda çekilen baryumlu kolon grafilerinde sadece bir olguda hepatik fleksurada stenoz saptamış ve oranı % 1 olarak bildirmiştir (6). Daha sonra birçok araştırmacı bu gerçek insidansı yansımada tartışmalı kabul edilen % 1'lik oranı kullanmıştır.

Akut pankreatitli olgularda en sık rastlanan radyolojik bulgu, direkt batın grafilerindeki kolonun kesilme işaretidir. Klinikte lokalize kolonik ileus olarak yorumlanan bu bulgu genellikle transvers kolonun splenik fleksura tarafında görülmekte ve akut pankreatitli olguların % 1-14'de karşımıza çıkmaktadır (7, 8).

Akut pankreatitli olgularda kolon tutuluşu direkt batın grafilerindeki kolon kesilme bulgusundan, pankreatik inflamatuar kitlenin dıştan basısı veya post pankreatitik kolonik stenoz ile mekanik obstrüksiyondan, kolona fistülizasyona veya kolon nekrozuna kadar çok değişik şekillerde karşımıza çıkmaktedir (9).

Akut pankreatitli olgularda kolon tutuluşunu inceleyen seriler göz önüne alındığında transvers kolonun splenik fleksuraya yakın parçası en sık etkilenen kolon segmenti olarak tanımlanmıştır (9). Akut pankreatitli olgularda kolon tutulumunun açıklanması amacıyla iki farklı mekanizma öne sürülmektedir. Bu görüşlerden ilki; pankreatik enzimlerin ve peripankreatik inflamatuar olayın direkt yayılımı ile kolonun serozal

tutulumu ve mezokolon inflamasyonudur (9).

Pankreas kökenli inflamatuar mediyatörlerin transvers mezokolonun iki yaprağı arasına sızmasına izin veren potansiyel bir yol bulunması mekanizmayı anatomi olarak açıklayan bir destektir (9).

Diğer görüş ise, akut pankreatitin etkisi ile mezenterik ve submukozal damarlarda oluşan trombusların mukozal ve derin katlarda iskemiye neden olabileceğidir (10, 11).

Akut pankreatitte vasküler kolonik iskeminin açıklanabilmesi için splenik ven trombozunun superior mezenterik vene kadar uzanması ile gelişen venöz infarktüs, akut pankreatitli olgularda gelişebilen sistemik hipotansiyona bağlı vasküler kolonik iskemi, dissemine intravasküler koagülasyona kadar varabilen koagülopatilerin neden olduğu kolonik mukozal iskemi gibi teoriler öne sürülmektedir (10, 11).

Çalışmamızın sonuçları gözden geçirildiğinde; kolon tutuluşunun histopatolojik olarak visseral periton yüzeyinde, mezokolon yağ dokusu ve damarları çevresinde yoğunlaştığı saptandı. Ayrıca hiçbir denekte kolon mukozasında histopatolojik değişiklik saptanmadı. Kolon segmentleri gözönüne alındığında ise kolon tutuluşu sadece transvers kolonda istatistiksel olarak anlamlı bulundu ($p<0.05$).

Bu sonuçlar ışığında; akut pankreatitli olgularda kolon tutuluşunun mezokolon aracılığı ile gelişğini savunan direkt yayılım görüşü ön plana çıkmaktadır.

Çalışmamızda, B1 grubundaki deneklerin % 57'sinde transvers kolonda yangusal reaksiyon olmazken, % 42.9 denekte birinci dereceden yangusal reaksiyon gözlandı. B2 grubunda ise % 57 denekte ikinci dereceden yangusal reaksiyon saptandı. B2 grubundaki histopatolojik ve biyokimyasal parametreler pankreatit açısından B1 grubu ile kıyaslandığında, B2 grubundaki pankreatit istatistiksel olarak anlamlı şekilde şiddetli bulundu. Dolayısıyla sonuçlar birlikte yorumlandığında, transvers kolondaki tutuluşun şiddetinin akut pankreatitin şiddeti ile doğru orantılı arttığını söyleyebiliriz.

Sonuç olarak, akut pankreatitli olgularda özellikle transvers kolonun direkt yayılım mekanizması ile etkilendiği ve bu etkilenenin akut pankreatitin şiddetine paralel olarak arttığı kanısına vardık.

KAYNAKLAR

- Deschold-Lanckman M, Robberch P, Camus C, Cristophe J. The interaction of cerulein with the rat pancreas. Eur J Biochem 1978; 91: 21-9.

- Murayama K M, Drew J B, Joehl R J. Does somatostatin analog prevent experimental acute pancreatitis ? Arch Surg 1990; 125: 1570-2.

- Armstrong CP, Taylor TV, Torrance HB. Pressure, volume

- and the pancreas. Gut 1985; 26: 615.
- 4- Lankisch PG. Pathogenesis of pancreatic inflammation. Acute Pancreatitis. Experimental and clinical aspects of pathogenesis and management Ed.G Glazer, Bailliare Tindall, London 1988; p182.
 - 5- Maruyama K M, Drew J B, Nahrwold D L. Cholecystokinin antagonist prevents hyperamilasemia and improves pancreatic exocrin functions in cerulein-induced acute pancreatitis. Pancreas 1990; 5: 439-44.
 - 6- Lukash W M. Complications of acute pancreatitis. Unusual sequence in 100 cases. Arch Surg 1967; 94: 848-52.
 - 7- Goradzinski C, Panka J L. The spectrum of colonic involvement in pancreatitis Dis Colon Rectum 1978;21: 61-70.
 - 8- Lindahl F, Vejlsted H, Bacher D G. Lesions of the colon following acute pancreatitis. Scand J Gastroenterol 1972; 7: 375-8.
 - 9- Aldridge M C, Francis M D, Dudley H A F. Colonic complications of severe acute pancreatitis. Br J Surg 1989; 76: 362-7.
 - 10- Moore FD, Castleman B. Case records of the Massachusetts General Hospital New Eng J Med 1945; 233: 443-5.
 - 11- Carey L C. Extraabdominal manifestations of acute pancreatitis. Surgery, 1979; 36: 337-42.